



Europäisches Patentamt

European Patent Office

Office européen des brevets



(19)

(11)

EP 1 034 753 A1

EUROPÄISCHE PATENTANMELDUNG

(12)

(51) Int. Cl.⁷: A61F 2/24

(43) Veröffentlichungstag:
13.09.2000 Patentblatt 2000/37

(21) Anmeldenummer: 00102099.9

(22) Anmeldetag: 03.02.2000

(84) Benannte Vertragsstaaten:
AT BE CH CY DE DK ES FI FR GB GR IE IT LI LU
MC NL PT SE
Benannte Erstreckungsstaaten:
AL LT LV MK RO SI

(30) Priorität: 09.03.1999 DE 19910233

(71) Anmelder: Jostra AG
72145 Hirrlingen (DE)

(72) Erfinder:
• Prof. Dr. med. Maazouzi Wajih
Villa 119 Rabat (MA)
• Dr. Ing. Ralf Kaufmann
72414 Rangendingen (DE)

(74) Vertreter:
Möbus, Daniela, Dr.-Ing.
Patentanwälte Dipl.-Ing. Rudolf Möbus,
Dr.-Ing. Daniela Möbus,
Dipl.-Ing. Gerhard Schwan,
Hindenburgstrasse 65
72762 Reutlingen (DE)

(54) Anuloplastiering

(57) Eine Anuloplastieprothese für mitrale und trikuspidale Herzklappen in Form eines offenen oder bis auf einen Spalt geschlossenen Rings (1), wobei der Ring (1) einen Kern mit einer sektorial unterschiedlichen Biegeflexibilität in der Ringebene aufweist.

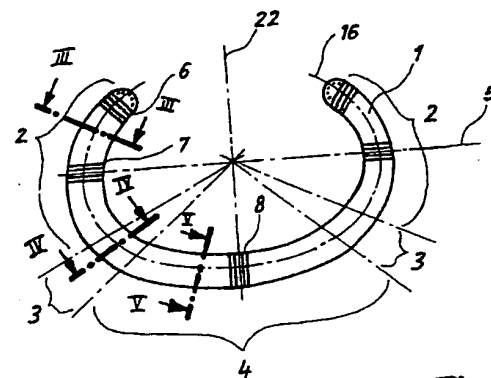


Fig. 1

EP 1 034 753 A1

Beschreibung

[0001] Die Erfindung betrifft eine Anuloplastieprothese für mitrale und trikuspidale Herzklappen in Form eines offenen oder bis auf einen Spalt geschlossenen Rings.

[0002] Anuloplastieprothesen werden bei Herzklappensuffizienzen zur Umgehung der Implantation einer künstlichen Herzklappe eingesetzt. Der Einsatz einer Anuloplastieprothese wird dabei gegebenenfalls mit einer Klappenrekonstruktion, einer Verkürzung oder Transposition der Papillarsehnenfäden oder einer Verkürzung der Papillarmuskeln kombiniert.

[0003] Der atrioventrikuläre Anulus ist eine dynamische Struktur, die während des Herzzyklus Änderungen in Größe und Form unterliegt. Während der Systole verengt sich insbesondere der mittlere Anulusdurchmesser der Mitralklappe durch eine posteriore Anularkontraktion, während die anteriore Anularlänge nahezu unverändert bleibt. Falls eine systolische anteriore anulare Bewegung (systolic anterior motion, SAM) vorliegt und darüber hinaus ein zu großes posteriores Klappensegel existiert, kann es zu Behinderungen des linksventrikulären Auswurfs (left ventricular outflow tract obstruction, LVOTO) kommen.

[0004] Zu den anuloplastisch therapierbaren Insuffizienzen gehört vor allem der nicht stenotisch bedingte Verlust am Schlagvolumen, hervorgerufen durch überhöhten systolischen Rückfluss des Blutes durch die Mitralklappe bzw. Trikuspidalklappe in den entsprechenden Vorhof. Für diese Insuffizienzen können chronische Ursachen wie Klappenprolaps, links- und rechtsventrikuläre Dilatation, Überdehnung der Pulmonalarterie oder linksventrikuläre Klappenerkrankungen, die die Funktion der Trikuspidalklappe beeinträchtigen, vorliegen. Diese Symptome werden beispielsweise durch rheumatisches Fieber, koronare Krankheit, kalzifizierte Anulus, Marfan-Syndrom, Fehlfunktionen der Papillarmuskeln und Lupus hervorgerufen. Für diese Insuffizienzen können jedoch auch akute Ursachen vorliegen wie Klappenprolaps durch Ruptur der Papillarsehnenfäden (Myxom, Endokarditis, Trauma) und Ruptur des Papillarmuskels (Infarkt, Trauma) sowie die Perforation eines Klappensegels (Endokarditis).

[0005] Ziel der Mitralklappe- bzw. Trikuspidalklappenrekonstruktion durch Implantation einer Anuloplastieprothese ist letztlich die Schaffung einer möglichst breiten Koaptationsfläche der Klappensegel und eine Gewebeentlastung während der Systole sowie eine gute Hämodynamik während der Diastole. Dies beinhaltet die Korrektur der Dilatation und/oder Deformation des Anulus, die selektive Reduktion deformierter Bereiche der Klappensegel sowie die Prävention von wiederkehrenden Dilatationen und Deformationen. Bisher werden starre oder flexible Mitralklappenrekonstruktionsringe (Carpentier- bzw. Duranringe) verwendet, die eine Reduzierung des Rings der Mitralklappe bewirken und dadurch zu einer erhöhten Schließfähigkeit führen. Die

starren Anuloplastieringe, wie sie beispielsweise in der US-A 3 656 185 offenbart sind, zeichnen sich durch eine hohe Formstabilität aus. Die flexiblen Anuloplastieringe weisen dagegen den Vorteil einer zyklischen Verformbarkeit auf. Sie zeigen eine hohe strukturelle Torsionsfähigkeit und eine äußerst geringe Umfangsdehnbarkeit. Dies gewährleistet eine deutliche Gewebeentlastung der atrioventrikulären Anulus. Computersimulationen und praktische Messungen mit einem 3-D-Echokardiografieverfahren haben die Vorteile dieser flexiblen Ringe gegenüber den schon länger bekannten starren Anuloplastieringen deutlich nachgewiesen. Während der Systole verringert sich hier die druckbeaufschlagte gesamte Klappenfläche um ca. 25 Prozent (Kunzelmann K.S. et al: Flexible versus rigid annuloplasty for mitral valve annular dilatation: a finite element model. J. Heart Valve Dis. 1998; 7, 1: 108-116 und Yamaura Y et al.: Three-dimensional echocardiographic evaluation of configuration and dynamics of the mitral annulus in patients fitted with an annuloplasty ring. J. Heart Valve Dis. 1997; 6, 1: 43-47).

[0006] Für die diastolische Ventrikelfüllung steht umgekehrt eine größere atrioventrikuläre Öffnungsfläche und somit ein geringerer Einströmwiderstand als bei einem völlig starren Anuloplastiering zur Verfügung. Auch das SAM-Syndrom tritt nach der Implantation von flexiblen Anuloplastiken wesentlich weniger häufig auf als nach der Implantation von starren Ringen. Nachteilig an den bis auf die Umfangslänge völlig flexiblen Anuloplastieringen ist jedoch, dass es nach der Implantation, die an einem entlasteten und stillstehenden Anulus durchgeführt werden muss, zu periodischen Faltenbewegungen und Ausbeulungen der Klappensegel, vor allem im Bereich der Kommissuren, kommen kann.

[0007] Der vorliegenden Erfindung liegt die Aufgabe zugrunde, eine Anuloplastieprothese zu schaffen, die die Vorteile flexibler Anuloplastieringe aufzeigt, ohne mit deren Nachteilen behaftet zu sein.

[0008] Die Aufgabe wird mit einer Anuloplastieprothese für mitrale und trikuspidale Herzklappen in Form eines offenen oder geschlossenen Rings gelöst, die erfindungsgemäß dadurch gekennzeichnet ist, dass der Ring einen Kern mit einer sektorale unterschiedlichen Biege-Flexibilität in der Ringebene aufweist.

[0009] Eine Anuloplastieprothese mit Bereichen unterschiedlicher Flexibilität ist zwar bereits aus der WO 97/16135 bekannt, doch wird hier die Flexibilität durch mehr oder weniger weit geöffnete Ringformen erreicht. Die Anuloplastieprothesen gemäß der Erfindung können jedoch sowohl geschlossene Ringe als auch offene Ringe sein und dennoch die gewünschten Flexibilitäts-eigenschaften aufweisen. So kann der Kern eine hohe Biegeflexibilität im mittleren Bereich - dem Bereich des posterioren mitralen Klappensegels - und eine hohe Biegsteifigkeit im Bereich der Klappenskommissuren aufweisen. Dies kann beispielsweise dadurch erzielt werden, dass der Kern über seine Länge Sektoren mit

unterschiedlichen Profilen aufweist. Dabei können die unterschiedlichen Profile stetig oder unstetig ineinander übergehen.

[0010] Durch die mechanischen Verformungseigenschaften der sektorischen Profilierung des erfundungsgemäßen Anuloplastieringkerns werden in einfacher Weise die zyklische Verformbarkeit bekannter flexibler Anuloplastieringe und die gute Formstabilität bekannter starrer Anuloplastieringe kombiniert.

[0011] Besondere Vorteile ergeben sich, wenn der Kern aus einem einheitlichen Werkstoff hergestellt ist. Die Bruchsicherheit des Kerns lässt sich dann sehr viel leichter kontrollieren als bei gefügten Kernen. Als Materialien für den Kern kommen insbesondere Metalle oder Metalllegierungen, vorzugsweise eine Titanlegierung, in Frage. Dabei kann der Kern vorzugsweise aus einem Rund- oder Vielkantdraht gefertigt sein. Die unterschiedlichen Profile des Kerns lassen sich dann durch Kaltumformung des Drahtes herstellen. Durch die Kaltverformung des Drahtes erhält dieser eine höhere Zähigkeit als bei einer Warmumformung.

[0012] Der Draht kann mindestens bereichsweise einen im Wesentlichen rechteckigen Querschnitt aufweisen, wobei die Höhe und Breite des Querschnitts über die Länge des Drahtes variiert. Je nachdem, in welcher Richtung der Draht abgeplattet wird, verändert sich auch die Flexibilität gegen Krafteinwirkung in der Ringebene. Weist der Kern nur eine geringe Dicke in der radialen Richtung des Anuloplastieringes auf, so ist der gesamte Ring in diesem Bereich sehr leicht biegsam. Umgekehrt führt ein in der Ringebene abgeplatteter Kern zu einer hohen radialen Steifigkeit des Kerns, sodass sich der Anuloplastiering in diesen Bereichen nur wenig verbiegen lässt. Durch Veränderung des Verhältnisses der Profilhöhe zur Profilbreite können Änderungen des Flächenträgheitsmoments des Kerns von bis zu 40 Prozent gegenüber dem unmodifizierten Profil erreicht werden.

[0013] In einer bevorzugten Ausführungsform kann der Kern von einer biokompatiblen Ummantelung, beispielsweise einem Schlauch aus expandiertem Polytetrafluoroethylen (ePTFE) umgeben sein. Zwischen dem Kern und der Ummantelung kann eine Polsterschicht, beispielsweise aus einem Polyestergestrick, angeordnet sein.

[0014] Weitere Vorteile ergeben sich, wenn der Ring aus der Ringebene in Blutdurchflussrichtung nach vorn, also in Richtung Vorhof, gewölbt ist.

[0015] Nachfolgend wird eine bevorzugte Ausführungsform eines erfundungsgemäßen Anuloplastieringes anhand der Zeichnung näher erläutert.

[0016] In Einzelnen zeigen:

Fig. 1 eine Ansicht auf die Hauptebene eines offenen Anuloplastieringes;

Fig. 2 eine Ansicht von unten auf den Anuloplastiering aus Fig. 1;

Fig. 3 einen Schnitt entlang der Linie III-III durch den Anuloplastiering aus Fig. 1;

Fig. 4 einen Schnitt entlang der Linie IV-IV durch den Anuloplastiering nach Fig. 1;

Fig. 5 einen Schnitt entlang der Linie V-V durch den Anuloplastiering aus Fig. 1;

Fig. 6 eine Darstellung des Verlaufs des axialen Flächenträgheitsmoments I_z in Abhängigkeit des Verhältnisses H/B;

Fig. 7 eine der Fig. 1 entsprechende Darstellung des Anuloplastieringes bei diastolischer Form der Herzklappe;

Fig. 8 eine der Fig. 7 entsprechende Darstellung des Anuloplastierings bei systolischer Form der Herzklappe.

[0017] Der C-förmige Anuloplastiering 1 aus Fig. 1 weist eine Symmetriechse 22 auf, die durch eine Achse 5, die durch den Bereich der größten Ringausdehnung verläuft, senkrecht geschnitten wird. Die Achse 5 und die Symmetriechse 22 spannen die kinematische Hauptebene auf. Der Anuloplastiering 1 ist zur erleichterten Positionierung durch den Herzchirurgen an seinen Enden 6, an den Stellen größter Ringausdehnung 7 und an der Schnittstelle 8 der Symmetriechse 22 mit Markierungen versehen. Diese Markierungen 6, 7, 8 können beispielsweise aus gefärbten, geflochtenen Polyester-Nahtmaterial gefertigt sein. Die Linie 16 repräsentiert den Verlauf der neutralen Fasern des Anuloplastierings und unterliegt bei elastischen Formänderungen keinen Dehnungen. Sie ist die geometrische Richtgröße zur Berechnung der sektorischen Flächenträgheitsmomente des Anuloplastierings 1.

[0018] In Fig. 2 wird verdeutlicht, dass der Anuloplastiering 1 aus der Hauptebene in Blutdurchflussrichtung nach vorn gewölbt, also konvex in Richtung Vorhof vorgeformt ist. Die Achse 9 in Fig. 2 ist orthogonal zu den Achsen 5 und 2 aus Fig. 1 und zeigt in die Z-Richtung, auf die die Flächenträgheitsmomente I_z bezogen sind.

[0019] Der Ring 1 ist gemäß Fig. 1 in Sektoren 2, 3, 4 unterschiedlicher Biegeflextilität in der kinematischen Hauptebene unterteilt. In den symmetrisch angeordneten Sektoren 2 besitzt der Ring 1 die größte Steifigkeit und in Bereich 4 die geringste Steifigkeit. Die Sektoren 3 sind Bereiche mittlerer Steifigkeit. Die unterschiedliche Steifigkeit wird durch einen im Inneren des Ringes 1 enthaltenen Kern 10 erreicht, der in den Bereichen 2, 3 und 4 ein unterschiedliches Profil aufweist. Dies ist in den Figuren 3 bis 5 gezeigt. Der Kern 10 wird dabei von einem Runddraht gebildet, wobei die runde Querschnittsform gemäß Fig. 4 in den Bereichen 3 unverändert beibehalten wird.

[0020] In Fig. 3 ist der gegen Kräfte in der kinematischen Hauptebene versteifte Sektor 2 des Anuloplastieringes 1 (Fig. 1) im Schnitt dargestellt. Die Symmetriearchsen 14a und 15a sind parallel zur Achse 9 bzw. zur Hauptebene ausgerichtet. Sie sind stets orthogonal zur neutralen Faser 16 und schneiden sich in ihr. Durch das Verhältnis der Höhe H zur Breite B des Kernprofils 10a des Kerns 10 des Anuloplastieringes 1, das beispielsweise zwischen 0,35 und 1 liegen kann, ergibt sich ein relativ zum unmodifizierten, kreisförmigen Profil 10b (Fig. 4) hohes Flächenträgheitsmoment I_z , wie in Fig. 6 dargestellt ist. Damit ist auch eine größere Steifigkeit gegenüber äußeren Kräften, die innerhalb der Hauptebene wirken, gegeben. Bei der dargestellten Ausführungsform ist der sektorell profilierte Kerndraht 10 von einem Schlauch 13 aus expandiertem Polytetrafluoroethylen umgeben. Als Polsterschicht 12 unter einer äußeren ePTFE-Ummantelung 11 kann ein Polyestergestrick eingesetzt werden.

[0021] In Fig. 4 ist der Anuloplastiering 1 im Sektor 3 mit unmodifiziertem Kernquerschnitt im Schnitt dargestellt. Die Symmetriearchsen 14b und 15b sind parallel zur Achse 9 (Fig. 2) bzw. zur Hauptebene (Fig. 1) ausgerichtet. Sie verlaufen auch orthogonal zur neutralen Faser 16 und schneiden sich in ihr. Durch das Verhältnis der Höhe H zur Breite B des Kernprofils 10b von 1 ergibt sich ein kleineres Flächenträgheitsmoment I_z (Fig. 6) als im Sektor 2 und somit eine geringere Steifigkeit gegenüber äußeren Kräften, die innerhalb der Hauptebene wirken.

[0022] In Fig. 5 ist der Anuloplastiering 1 im Sektor 4 (Fig. 1) hoher Flexibilität im Schnitt dargestellt. Die Symmetriearchsen 14c und 15c sind wieder parallel zur Achse 9 (Fig. 2) und zur Hauptebene ausgerichtet. Sie verlaufen ebenfalls orthogonal zur neutralen Faser 16 und schneiden sich in ihr. Das Kernprofil 10c weist hier ein großes Verhältnis von Höhe H zur Breite B auf, beispielsweise im Bereich von 1 bis 2,86, wodurch sich im Vergleich zum unmodifizierten Profil 10b aus Fig. 4 ein niedrigeres Flächenträgheitsmoment (I_z) und somit eine geringere Steifigkeit gegenüber äußeren Kräften, die innerhalb der Hauptebene wirken, ergibt.

[0023] In Fig. 6 ist der interpolierte Verlauf des axialen Flächenträgheitsmomentes (I_z) in Abhängigkeit vom Höhen-Breiten-Verhältnis H/B am Ausführungsbeispiel eines abgeplatteten Rundkerndrahtes mit 1,2 mm Durchmesser dargestellt. Die Interpolation basiert auf drei gemessenen, durch Kaltverformung eines Runddrahtes herstellbaren H/B-Verhältnissen (siehe Punkte 23, 24, 25 im Diagramm aus Fig. 6).

[0024] Für den unmodifizierten Runddraht in Sektor 3 (Figuren 1 und 4) ist $H = B = \text{Kerndrahtdurchmesser}$ und I_z mit:

$$I_{z\text{Kreis}} = 0,049 \cdot B^4$$

berechenbar (Punkt 24).

[0025] Für den sektorell versteiften Kerndraht in Sektor 2 (Figuren 1 und 3) ist ein minimales Verhältnis $H/B = 0,35$ herstellbar, sodass I_z in guter Näherung mit

$$I_{z\text{Rechteck}} = 0,083 \cdot H \cdot B^3$$

angegeben werden kann (Punkt 23).

[0026] Für den sektorell flexibilisierten Kerndraht in Sektor 4 (Figuren 1 und 5) ist ein maximales Verhältnis $H/B = 2,86$ herstellbar, sodass I_z (Punkt 25) ebenfalls in guter Näherung wie Punkt 23 berechnet werden kann.

[0027] Flächenträgheitsmomente I_z mit geometrischen Querschnittsübergängen vom Runddraht zum kaltverformten Vierkantdraht lassen sich für $0,35 \leq H/B \leq 2,86$ und einen vorgegebenen Drahtdurchmesser D von 1,2 mm des unmodifizierten Materials mit der allgemeinen Interpolationsgleichung:

$$I_z = D \cdot (-0,214 + 0,225 \cdot e^{0,287 \cdot B/H}) \text{ mm}^4$$

berechnen (Fig. 6). Bei anderen Drahtdurchmessern müssen die Parameter der angesetzten Exponentialfunktion durch neue Stützpunkte (23, 24, 25) neu berechnet werden.

[0028] In Fig. 7 ist der Anuloplastiering 1 am Anulus der Mitralklappe 17 während der Diastole dargestellt. Der Anuloplastiering 1 ist, wie zum Zeitpunkt seiner Implantation, nicht durch Kräfte in der Hauptebene belastet und weist eine nicht verformte neutrale Faser 16 auf.

[0029] Fig. 8 zeigt hingegen die flexible Anpassung einer mitralen Ausführungsform des erfindungsgemäßen Anuloplastieringes 1 an die systolische Form der anterioren 21 und posterioren 20 Herzkappensegel und erlaubt so eine optimale Koaptationslinie 26. Die neutrale Faser 16 biegt sich flexibel in ihre neue Form 18. Die größte Formänderung übernimmt der Sektor 4 (Fig. 1) am posterioren Segel 20. Die größte Steifigkeit des Anuloplastieringes 1 liegt im Bereich der Kommissuren an beiden Enden der Koaptationslinie 26 in den gegenüberliegenden Sektoren 2 (Fig. 1). Die beidseitige Aufbiegungsweite 19 ist mit Gleichung:

$$\Delta s = \lambda \cdot q \cdot l^4 / (E \cdot I_z)$$

angebar, wobei E das Elastizitätsmodul des Kernmaterials, q (1) die in der Hauptebene wirkende Umlast, die von Gewebe über Nähte auf den Ring ausgeübt wird, l die Länge der neutralen Faser von der Achse 22 aus gesehen und λ ein Proportionalitätsfaktor, der von der Geometrie der neutralen Faser abhängig ist, sind.

55 Patentansprüche

1. Anuloplastioprothese für mitrale und trikuspidale

Herzkappen in Form eines offenen oder bis auf einen Spalt geschlossenen Rings (1), dadurch gekennzeichnet, dass der Ring (1) einen Kern (10) mit einer sektoral unterschiedlichen Biegefflexibilität in der Ringebene aufweist.

12. Anuloplastieprothese nach einem der Ansprüche 1 bis 11, dadurch gekennzeichnet, dass der Ring (1) aus der Ringebene in Blutdurchflussrichtung nach vorn gewölbt ist.

2. Anuloplastieprothese nach Anspruch 1, dadurch gekennzeichnet, dass der Kern (10) eine hohe Biegefflexibilität im mittleren Bereich (4) und eine hohe Biegesteifigkeit in der Ringebene im Bereich (2) der Klappenkommissuren aufweist. 10

3. Anuloplastieprothese nach Anspruch 1 oder 2, dadurch gekennzeichnet, dass der Kern (10) über seine Länge Sektoren (2, 3, 4) mit unterschiedlichen Profilen aufweist. 15

4. Anuloplastieprothese nach Anspruch 3, dadurch gekennzeichnet, dass die unterschiedlichen Profile (10a, 10b, 10c) stetig oder unstetig ineinander übergehen. 20

5. Anuloplastieprothese nach einem der Ansprüche 1 bis 4, dadurch gekennzeichnet, dass der Kern (10) aus einem einheitlichen Werkstoff hergestellt ist. 25

6. Anuloplastierprothese nach Anspruch 5, dadurch gekennzeichnet, dass der Kern (10) aus einem Metall oder einer Metalllegierung, vorzugsweise einer Titanlegierung, hergestellt ist. 30

7. Anuloplastieprothese nach Anspruch 6, dadurch gekennzeichnet, dass der Kern (10) aus einem Rund- oder Vielkantdraht gefertigt ist. 35

8. Anuloplastieprothese nach Anspruch 7, dadurch gekennzeichnet, dass die unterschiedlichen Profile (10a, 10b, 10c) des Kerns (10) durch Kaltumformung des Drahtes hergestellt sind. 40

9. Anuloplastieprothese nach Anspruch 7 oder 8, dadurch gekennzeichnet, dass der Draht mindestens bereichsweise einen im Wesentlichen rechteckigen Querschnitt (10a, 10c) aufweist, wobei die Höhe (H) und Breite (B) des Querschnitts über die Länge des Drahtes variiert. 45

10. Anuloplastieprothese nach einem der Ansprüche 1 bis 9, dadurch gekennzeichnet, dass der Kern (10) von einer biokompatiblen Ummantelung (11) umgeben ist. 50

11. Anuloplastieprothese nach Anspruch 10, dadurch gekennzeichnet, dass zwischen dem Kern (10) und der Ummantelung (11) eine Polsterschicht (12) beispielsweise aus einem Polyestergestrick angeordnet ist. 55

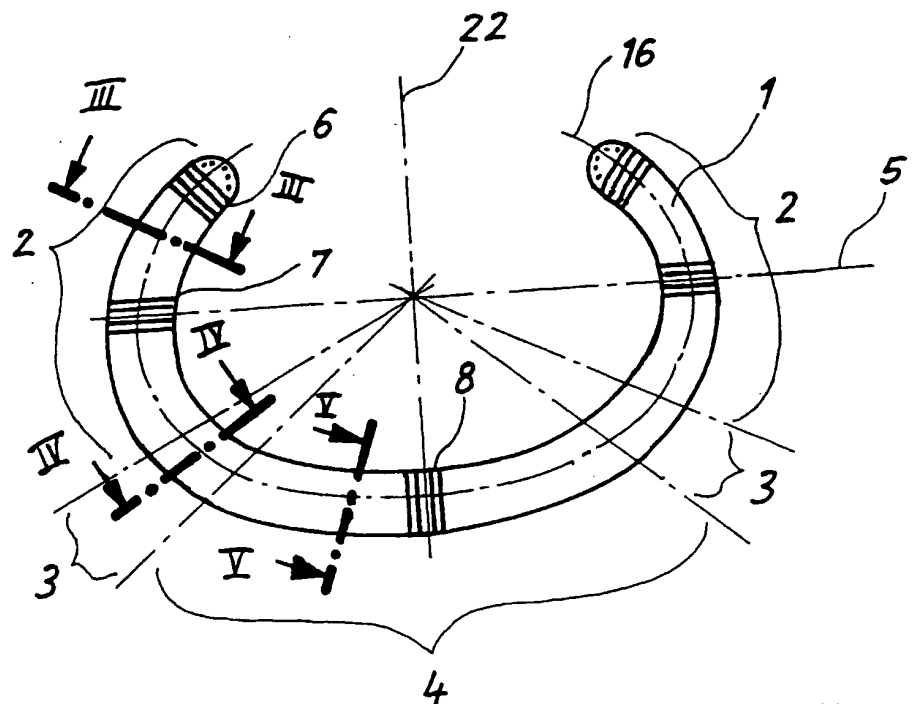


Fig. 1

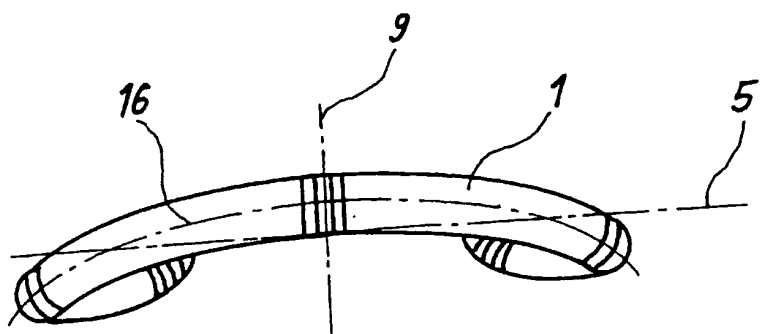


Fig. 2

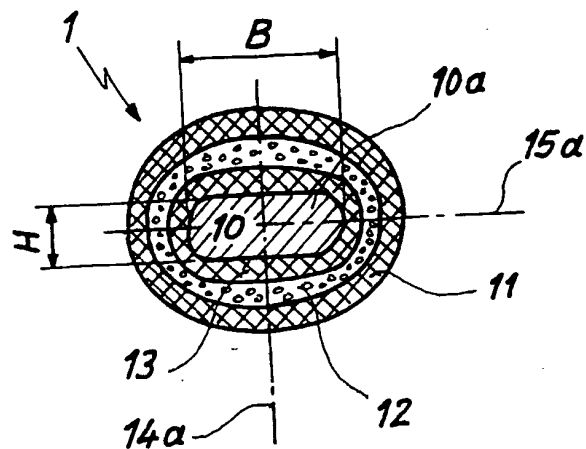


Fig. 3

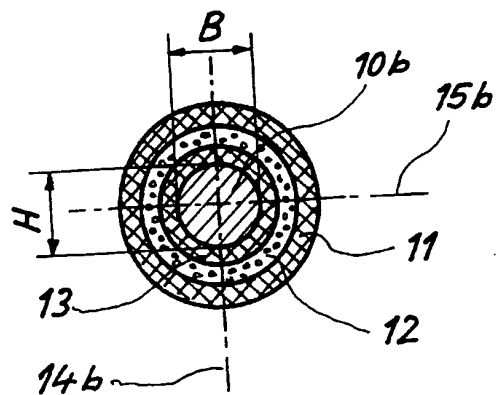


Fig. 4

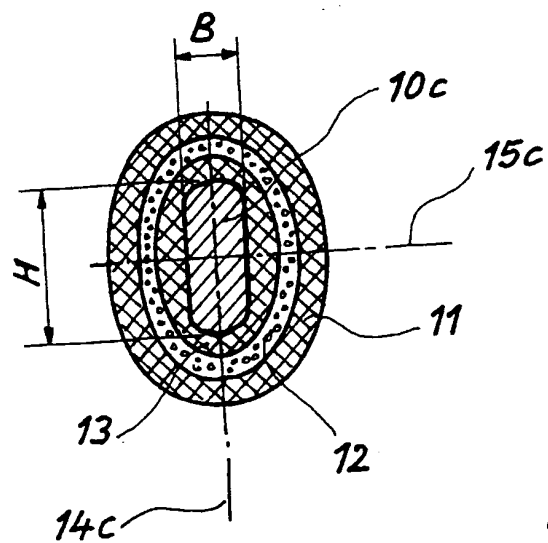


Fig. 5

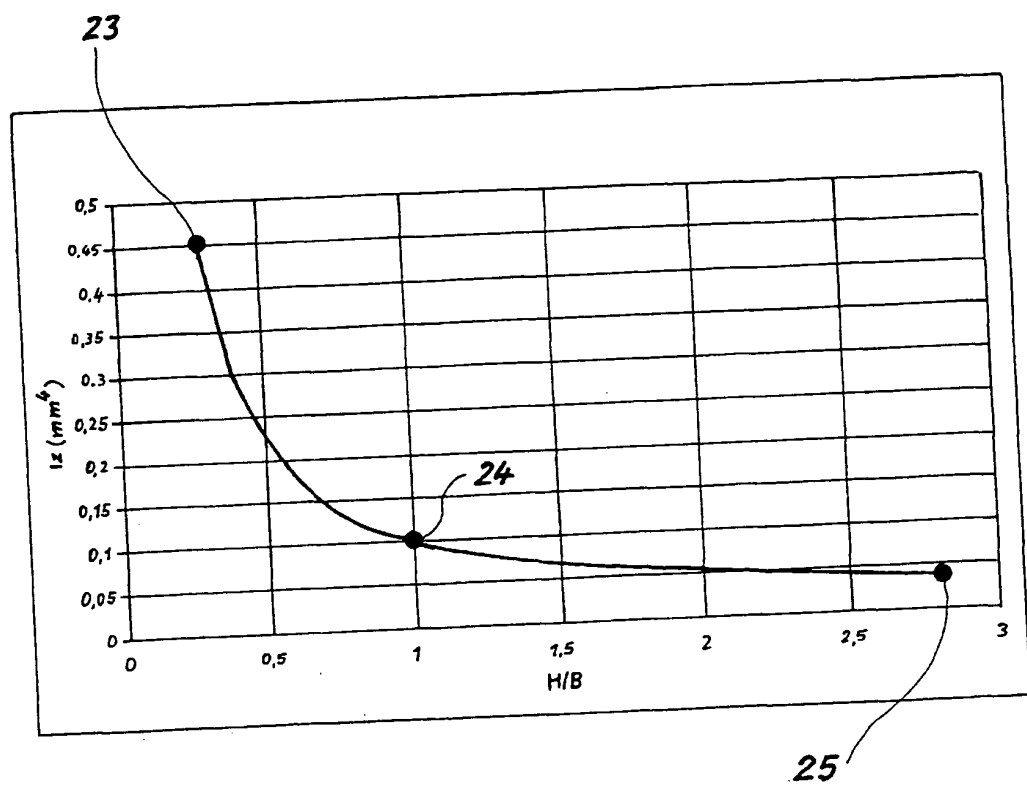


Fig. 6

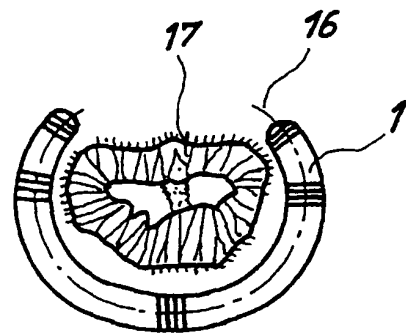


Fig.7

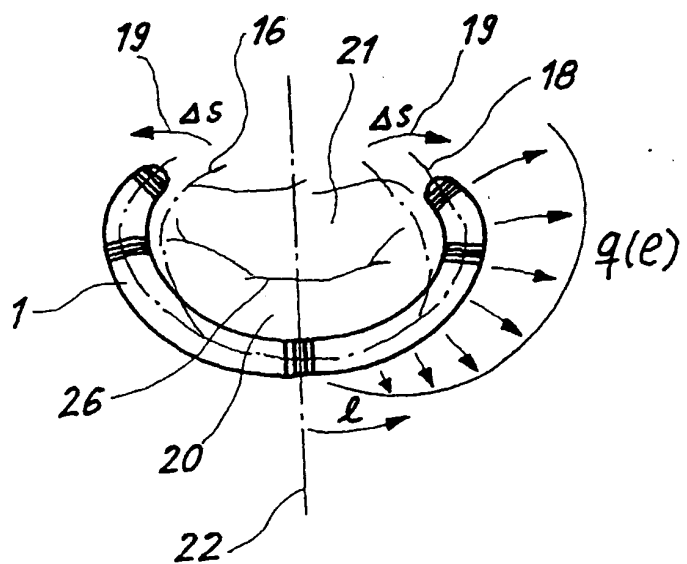


Fig.8

Europäisches
Patentamt

EUROPÄISCHER RECHERCHENBERICHT

Nummer der Anmeldung

EP 00 10 2099

EINSCHLÄGIGE DOKUMENTE			KLASSIFIKATION DER ANMELDUNG (Int.Cl.7)						
Kategorie	Kennzeichnung des Dokuments mit Angabe, soweit erforderlich, der maßgeblichen Teile	Betritt Anspruch							
X	WO 95 03757 A (SEGUIN) 9. Februar 1995 (1995-02-09) * das ganze Dokument *	1-5, 10-12	A61F2/24						
X	EP 0 595 791 A (BAXTER INTERNATIONAL INC.) 4. Mai 1994 (1994-05-04) * das ganze Dokument *	1-4, 10-12							
			RECHERCHIERTE SACHGEBiete (Int.Cl.7)						
			A61F						
<p>Der vorliegende Recherchenbericht wurde für alle Patentansprüche erstellt</p> <table border="1" style="width: 100%; border-collapse: collapse;"> <tr> <td style="width: 33%;">Recherchenort</td> <td style="width: 33%;">Abschlußdatum der Recherche</td> <td style="width: 34%;">Prüfer</td> </tr> <tr> <td>DEN HAAG</td> <td>19. Juni 2000</td> <td>Smith, C</td> </tr> </table> <p>KATEGORIE DER GENANNTEN DOKUMENTE</p> <p>X : von besonderer Bedeutung allein betrachtet Y : von besonderer Bedeutung in Verbindung mit einer anderen Veröffentlichung derselben Kategorie A : technologischer Hintergrund O : nichtschriftliche Offenbarung P : Zwischenliteratur</p> <p>T : der Erfindung zugrunde liegende Theorien oder Grundsätze E : älteres Patentdokument, das jedoch erst am oder nach dem Anmelddatum veröffentlicht worden ist D : in der Anmeldung angeführtes Dokument L : aus anderen Gründen angeführtes Dokument & : Mitglied der gleichen Patentfamilie, übereinstimmendes Dokument</p>				Recherchenort	Abschlußdatum der Recherche	Prüfer	DEN HAAG	19. Juni 2000	Smith, C
Recherchenort	Abschlußdatum der Recherche	Prüfer							
DEN HAAG	19. Juni 2000	Smith, C							

**ANHANG ZUM EUROPÄISCHEN RECHERCHENBERICHT
ÜBER DIE EUROPÄISCHE PATENTANMELDUNG NR.**

EP 00 10 2099

In diesem Anhang sind die Mitglieder der Patentfamilien der im obengenannten europäischen Recherchenbericht angeführten Patentdokumente angegeben.
Die Angaben über die Familienmitglieder entsprechen dem Stand der Datei des Europäischen Patentamts am
Diese Angaben dienen nur zur Orientierung und erfolgen ohne Gewähr.

19-06-2000

Im Recherchenbericht angeführtes Patentdokument	Datum der Veröffentlichung	Mitglied(er) der Patentfamilie	Datum der Veröffentlichung
WO 9503757 A	09-02-1995	FR 2708458 A AT 153523 T CA 2168653 A DE 69403482 D DE 69403482 T EP 0712302 A ES 2104400 T JP 9503679 T SG 49082 A US 5607471 A	10-02-1995 15-06-1997 09-02-1995 03-07-1997 11-12-1997 22-05-1996 01-10-1997 15-04-1997 18-05-1998 04-03-1997
EP 595791 A	04-05-1994	CA 2049971 A DE 69010890 D DE 69010890 T DE 69033195 D DE 69033195 T EP 0457842 A JP 4503318 T WO 9009153 A US 5104407 A	14-08-1990 25-08-1994 16-03-1995 05-08-1999 09-03-2000 27-11-1991 18-06-1992 23-08-1990 14-04-1992

Für nähere Einzelheiten zu diesem Anhang: siehe Amtsblatt des Europäischen Patentamts, Nr.12/82

**This Page is Inserted by IFW Indexing and Scanning
Operations and is not part of the Official Record**

BEST AVAILABLE IMAGES

Defective images within this document are accurate representations of the original documents submitted by the applicant.

Defects in the images include but are not limited to the items checked:

- BLACK BORDERS**
- IMAGE CUT OFF AT TOP, BOTTOM OR SIDES**
- FADED TEXT OR DRAWING**
- BLURRED OR ILLEGIBLE TEXT OR DRAWING**
- SKEWED/SLANTED IMAGES**
- COLOR OR BLACK AND WHITE PHOTOGRAPHS**
- GRAY SCALE DOCUMENTS**
- LINES OR MARKS ON ORIGINAL DOCUMENT**
- REFERENCE(S) OR EXHIBIT(S) SUBMITTED ARE POOR QUALITY**
- OTHER: _____**

IMAGES ARE BEST AVAILABLE COPY.

As rescanning these documents will not correct the image problems checked, please do not report these problems to the IFW Image Problem Mailbox.